

Lista 5 - Mec Voo

① \rightarrow De 3.1.1:

$$q = \frac{(m-1)q}{V} \quad (1)$$

$$\hat{q} = \frac{q \cdot \bar{c}}{2V} \quad (2)$$

\rightarrow De (1) e (2):

$$\hat{q} = \frac{(m-1)q\bar{c}}{2V^2} \quad (3)$$

\rightarrow De $C_w = \frac{W}{\frac{1}{2}\rho V^2 S}$

$$\frac{1}{V^2} = \frac{C_w \rho S}{2W} \quad (4)$$

\rightarrow De (3) e (4):

$$\hat{q} = (m-1) \frac{C_w}{2} \left(\frac{q\bar{c}\rho S}{2W} \right) \quad (5)$$

\rightarrow Como $W = m \cdot g$

$$\hat{q} = (m-1) \frac{C_w}{2} \left(\frac{\bar{c}\rho S}{2m} \right) = (m-1) \frac{C_w}{2\gamma}$$

\rightarrow Sendo $\gamma = \frac{2m}{\rho S \bar{c}}$

② $\frac{\Delta \delta_e}{(m-1)} = \frac{C_w}{\det} \left[C_{m\alpha} - \frac{1}{2\gamma} (C_{L\beta} C_{m\alpha} - C_{L\alpha} C_{m\beta}) \right]$

\rightarrow Encontra-la na forma dimensional:

i) Usando 3.1.2 dimensional:

$$\Delta L = L_\alpha \Delta_\alpha + L_q q + L_{\delta_e} \Delta \delta_e \quad (1)$$

\rightarrow 3.1.3 dimensional:

$$\Delta M = M_\alpha \Delta \alpha + M_q \cdot q + M_{\delta e} \Delta \delta_e \quad (2)$$

~ 3.1.5 dimensional:

$$\Delta L = (m-1)w \quad (3)$$

~ De 3.1.1:

$$q = \frac{(m-1)g}{v} \quad (4)$$

~ Com a aeronave trimada $\Delta M = 0$ (5)

~ De (1) e (3):

$$(m-1)w = L_\alpha \Delta \alpha + L_q \cdot q + L_{\delta e} \Delta \delta_e \quad (6)$$

~ De (2) e (5):

$$0 = M_\alpha \Delta \alpha + M_q \cdot q + M_{\delta e} \Delta \delta_e \quad (7)$$

$$\Delta \alpha = -\frac{(M_q \cdot q + M_{\delta e} \Delta \delta_e)}{M_\alpha} \quad (8)$$

~ De (6) e (8):

$$(m-1)w = -\frac{L_\alpha}{M_\alpha} (M_q \cdot q + M_{\delta e} \Delta \delta_e) + L_q \cdot q + L_{\delta e} \Delta \delta_e \quad (9)$$

$$\Delta \delta_e \left(L_{\delta e} - \frac{L_\alpha M_{\delta e}}{M_\alpha} \right) = (m-1)w + \frac{L_\alpha}{M_\alpha} M_q \cdot q - L_q \cdot q \quad (10)$$

~ De (4) e (10):

$$\Delta \delta_e \left(L_{\delta e} - \frac{L_\alpha M_{\delta e}}{M_\alpha} \right) = (m-1)w + \left(\frac{L_\alpha}{M_\alpha} M_q - L_q \right) \frac{(m-1)g}{v} \quad (11)$$

$$\frac{\Delta \delta_e}{(m-1)} = \frac{w M_\alpha + (L_\alpha M_q - L_q M_\alpha) \frac{g}{v}}{M_\alpha \cdot L_{\delta e} - L_\alpha M_{\delta e}} \quad \rightarrow \text{comparar com o 2º caminho} \quad (12)$$

$$u) \frac{\Delta \delta_e}{(n-1)} = \frac{C_w}{\det} \left[C_{m\alpha} - \frac{1}{2\gamma} (C_{Lq} \cdot C_{m\alpha} - C_{L\alpha} C_{mq}) \right] \quad (13)$$

$$\leadsto \text{Onde } \gamma = \frac{2m}{\rho S \bar{c}} \quad (14)$$

$$C_w = \frac{W}{\frac{1}{2} \rho V^2 S} \quad (15); \quad C_{m\alpha} = \frac{M_\alpha}{\frac{1}{2} \rho V^2 S \bar{c}} = \frac{\partial C_m}{\partial \alpha} \quad (16); \quad C_{Lq} = \frac{\partial C_L}{\partial \hat{q}} \quad (17); \quad \hat{q} = \frac{q \bar{c}}{2V} \quad (18)$$

\leadsto De (17) e (18):

$$C_{Lq} = \frac{\partial C_L}{\partial q} \frac{dq}{d\hat{q}} = \frac{\partial}{\partial q} \left(\frac{L}{\frac{1}{2} \rho V^2 S} \right) \left(\frac{2V}{\bar{c}} \right)$$

$$C_{Lq} = \frac{L_q}{\frac{1}{2} \rho V^2 S} \left(\frac{2V}{\bar{c}} \right) = \frac{4 L_q}{\rho V S \bar{c}} \quad (19)$$

\leadsto Portanto:

$$C_{L\alpha} = \frac{L_\alpha}{\frac{1}{2} \rho V^2 S} \quad (20); \quad C_{L\delta_e} = \frac{L_{\delta_e}}{\frac{1}{2} \rho V^2 S} \quad (21); \quad C_{m\delta_e} = \frac{M_{\delta_e}}{\frac{1}{2} \rho V^2 S \bar{c}} \quad (22);$$

$$C_{mq} = \frac{dC_m}{d\hat{q}} = \frac{dC_m}{dq} \cdot \frac{dq}{d\hat{q}} = \frac{4 M_q}{\rho V S \bar{c}^2} \quad (23)$$

\leadsto De 2.4.13 d:

$$\det = C_{L\alpha} C_{m\delta_e} - C_{L\delta_e} C_{m\alpha} \quad (24)$$

\leadsto De (16), (20), (21), (22) e (24)

$$\det = \frac{1}{\left(\frac{1}{2} \rho V^2 S \right)^2 \bar{c}} [L_\alpha M_{\delta_e} - L_{\delta_e} M_\alpha] \quad (25)$$

\leadsto Substituindo as constantes e o determinante em (13):

$$\frac{\Delta \delta_e}{(n-1)} = \frac{W M_\alpha + (L_\alpha M_q - L_q M_\alpha) \frac{q}{V}}{M_\alpha L_{\delta_e} - L_\alpha M_{\delta_e}}$$

③ De 3.2.6:
$$\theta = \frac{\Delta P}{(m-1)} = -G S_e \bar{c}_e \omega \frac{a' b_2}{2\gamma \det} (2\gamma - C_{Lq})(h - h'_m) \quad (1)$$

→ Onde $\omega = \frac{W}{S}$

$G = 30^\circ/\text{ft} = 0,52 \text{ rad/ft} \quad (2)$

$\omega = \frac{W}{S} = 53,33 \text{ lb/ft}^3 \quad (3)$

→ De 2.6.6:

$$a' = a \left(1 - \frac{C_{L\delta e} b_1}{a b_2} \right)$$

→ De 2.4.8 a

$C_{L\delta e} = a_e \frac{S_t}{S} = 0,0108/\text{deg} \quad (4)$

$\therefore a' = 0,084 \quad (5)$

→ James: $\gamma = \frac{2m}{p S_e} \Rightarrow \gamma = \frac{0,259}{p} \quad (6)$

→

→ De 2.4.14 a: $\det = C_{L\alpha} [C_{L\delta e} (h_m - h_{mwb}) - a_e \bar{V}_H]$

→ De 2.3.23 ignorando efeitos propulsores:

$$h_m - h_{mwb} = \frac{a_t}{a} \bar{V}_H \left(1 - \frac{\partial E}{\partial \alpha} \right)$$

→ Como $C_L = C_{L\alpha} \cdot \alpha = \frac{\partial C_L}{\partial \alpha} = a \cdot \alpha \quad \therefore C_{L\alpha} = a$

$\bar{V}_H = \frac{\bar{J}_t S_t}{\bar{c} S} \Rightarrow \bar{V}_H = 0,61$

$\therefore (h - h_{mwb}) = 0,31 \quad (7)$

$\therefore \det = -0,00207/\text{deg}^2 \quad (8)$

→ De 3.2.5:
$$h'_m = h_m + \frac{d\epsilon}{a'b^2} \left(\frac{C_{hex}}{C_{L\alpha}} + \frac{C_{heq}}{2\gamma - C_{Lq}} \right)$$

→ De 3.1.8:

$$h'_m = h_m - \frac{C_{mq}}{2\gamma - C_{Lq}} = h_m + 44,21p \quad (9)$$

→ De 2.5.4b para $b_0 = 0$

$$C_{hex} = b_1 \left(1 - \frac{\partial \epsilon}{\partial \alpha} \right) \Rightarrow C_{hex} = -0,00208 / \text{deg} \quad (10)$$

→ Termos: $b_2 = -0,48 / \text{rad} = -0,0084 / \text{deg} \quad (11)$

→ Substituindo em 3.2.5, as eq. (8), (5) e (11) e os dados:

$$\therefore h'_m = h_m + 44,21p - 0,0693 - 4,79p$$

$$h'_m = h_m + 39,42p - 0,0693 \quad (12)$$

→ Multiplicando (12) por -1 e somando h dos dois lados:

$$\begin{aligned} h - h'_m &= (h - h_m) + 0,0693 - 39,42p \\ &= -0,0307 - 39,42p \quad (13) \end{aligned}$$

→ Substituindo (13) em (1):

$$Q = \frac{\Delta P}{(m-1)} = (45,73 + 58,717p) \text{ lbf}$$

→ Para encontrar Q com altitude, encontre p (slug/ft³) para uma dada altitude e substitua em Q.

④ A força por g é diretamente proporcional à carga alar w , então para reduzi-la, a carga alar deve ser diminuída, a força por g aumenta linearmente de zero à medida que o CG se move para frente a partir do ponto de manobra manche livre, então outra opção seria mover o CG para trás, a partir do ponto de manobra manche livre.

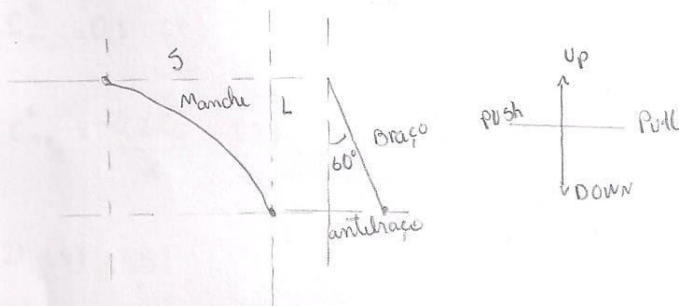
⑤ \rightarrow Para δ_e máx $\rightarrow P = (G_1 - G_2) H_c \rightarrow G_2 = \frac{dw_b}{\frac{dz}{dz}} \frac{1}{H_c}$
 $\rightarrow G_1 \cdot \frac{\partial \delta_e}{\partial z} > 0$

ampa = 30°

bairros = 20°

\rightarrow Da fig. da tabela 1.2: $C_{L_{max}} = 0,3$

* O braço parte de uma angulação de 60° com o tronco até 90° com o tronco alinhado com o antebraço



* São dadas as forças de operação na tab. 1.2 para 5% masculino

Para deflexão máxima de cabrar $60^\circ \rightarrow 216 N$

Para deflexão máxima de pizar $180^\circ \rightarrow 151 N$

$$d_z = \text{antebraço} + \text{braço} \sin 60^\circ$$

* comprimento Braço: 37 cm

* Antebraço: 33 cm

$$d_z = 0,33 + 0,37 \sin 60^\circ$$

$$= 0,5504 \text{ m}$$

$$\text{bomo } \delta_{e, 50^\circ} = 0,8726 \text{ rad}$$

$$G_1 = \frac{-0,872664 \text{ rad}}{0,6504 \text{ m}} = -1,3416 \frac{\text{rad}}{\text{m}}$$

→ Como a maior força pela tabela 1.2 é 151 N então

$$P d\alpha + dW_b + H_e d\delta_e = 0$$

$$\text{e } G = G_1 - G_2 \quad \text{onde } G_2 = \frac{dW_b}{d\alpha} : H_e$$

→ considerando que o arado é estritamente manual, a parcela de G_2 é nula:

$$G = -1,3416 \frac{\text{rad}}{\text{m}}$$

⑥ → De 2.4.2b:

$$C_m = C_{m_0} + C_{m_\alpha} + C_{m_{\delta_e}} \quad (1)$$

→ Efeitos propulsores são incluídos em C_{m_0} e C_{m_α} (2.3.21) e (2.3.22), assim:

$$C_m = C_{m_0}^* + C_{m_\alpha}^* \alpha + C_{mp} + C_{m_{\delta_e}} \delta_e \quad (2)$$

(*) significa que os efeitos propulsores estão ausentes quando $\delta_e = 0 \Rightarrow C_{m_{\delta_e}} = 0$

$$C_m = 0,1 - 0,2 C_L \quad (3)$$

→ De (2) e (3) para $C_{mp} = 0$ e $\delta_e = 0$

$$0,1 - 0,2 C_L = C_{m_0}^* + C_{m_\alpha}^* \alpha$$

$$\therefore C_{m_0}^* = 0,1 \quad (4)$$

$$C_{m_\alpha}^* = \frac{-0,2 C_L}{\alpha} \quad (5)$$

→ De (2), (4) e (5)

$$C_m = 0,1 - 0,2 C_L + C_{m_{\delta_e}} \delta_e \quad (6)$$

i) Avião a jato com T (a aceleração constante ou igual a zero)

$$T = D \quad (7)$$

$$L = W \quad (8)$$

→ Como $\frac{L}{D} = 12$

$$\frac{T}{W} = \frac{1}{12} \quad (9)$$

→ De 13.4.6a

$$C_{mp} = \frac{T}{\omega} C_L \cdot \frac{\partial p}{\partial \epsilon} \quad (10)$$

$$\rightarrow \text{De (9), (10) e } \frac{\partial p}{\partial \epsilon} = 0,9$$

$$C_{mp} = \frac{0,9}{0,12} C_L \quad (11)$$

$$\rightarrow \text{De (6) e (11)}$$

$$C_m = 0,1 - 0,167 C_L + C_{mp} \delta_e \quad (12)$$

$\rightarrow \text{Logo:}$

$$\frac{dC_m}{dC_L} = -0,167 = \text{cte}$$

7) $\rightarrow (3.4.15)$:

$$\Delta C_{m\alpha} = \frac{m'^2}{A_i p_i} \cdot \frac{1}{\frac{1}{2} \rho V^2 S_c} \left[x_i \left(1 + \frac{\partial \epsilon_i}{\partial \alpha} \right) + \theta \frac{\partial x_i}{\partial \alpha} \right]$$

i) substituir α por $-\beta$ e α_i por $-\beta_i$

ii) Da fig 3.7

iii) Substituir M por N

iv) desprezar $\sigma_i = 0$ e $C_i = 0$

v) Usar $\theta = -\beta_i$

\rightarrow Desta forma

$$\Delta \frac{\partial C_m}{\partial \beta} = \Delta C_{m\beta} = -\frac{m'^2}{A_i p_i \left(\frac{1}{2} \rho V^2 S_c \right)} \left[x_i + \beta_i \frac{\partial x_i}{\partial \beta} \right]$$

8) De 3.5.3 e 3.5.4

$$\Delta h_m = \frac{a_t}{a} \bar{V}_H \left(1 - \frac{\partial \epsilon}{\partial \alpha} \right) \left[\frac{1}{1 + k_{at} \cdot \frac{1}{2} \rho V^2 S_t} - 1 \right] \quad (1)$$

\rightarrow Assumindo $\left(1 - \frac{\partial \epsilon}{\partial \alpha} \right) > 0$

$\Rightarrow \Delta h_m$ depende de V^2

\Rightarrow O segundo termo dentro dos colchetes é negativo, isso implica que a flexibilidade leva o ponto neutro para frente

\Rightarrow Se V diminui, estabilidade aumenta, pois, $\Delta h_m < 0$

\Rightarrow Se V aumenta, estabilidade diminui, pois $\Delta h_m > 0$

\rightarrow Tail load é dado por:

$$L_t = \frac{1}{2} \rho V^2 S_t C_{Lt} \quad (2)$$

→ De 3.5.4:

$$C_{Lt} = \frac{a_t (\alpha_{wb} - \varepsilon - i_t) + a_e \delta_e}{1 + R a_t + \frac{1}{2} \rho V^2 S_t} \quad (3)$$

→ (2) em (3):

$$L_t = \frac{a_t (\alpha_{wb} - \varepsilon - i_t) + a_e \delta_e}{\frac{2}{\rho V^2 S_t} + k_{at}} \quad (4)$$

→ Assume que para uma aeronave normal, uma mudança $\Delta \delta_e$ deve ser negativa para desacelerar a mesma. Assim $a_e \delta_e$ é um incremento negativo na desaceleração. O denominador também aumenta com a desaceleração

i) Se C_{Lt} é inicialmente positivo, ao desacelerar o numerador de (4) é reduzido devido a $\Delta \delta_e$. Diminuir V aumenta o denominador. Isso diminui $|L_t|$.

Se a aeronave diminuir a velocidade L_t se aproxima de zero e se torna negativo.

ii) Se C_{Lt} é inicialmente negativo, ao desacelerar o numerador de (4) é aumentado devido a $\Delta \delta_e$. Diminuir V aumenta o denominador. Dessa forma $|L_t|$ pode aumentar ou diminuir dependendo dos parâmetros aerodinâmicos.

9) encontrar 3.9b

9

$$\frac{\Delta \partial C_m}{\partial \beta} = -\frac{x_p \delta_p}{b \cdot s} \cdot \frac{\partial C_{Np}}{\partial \alpha_p} \quad (1)$$

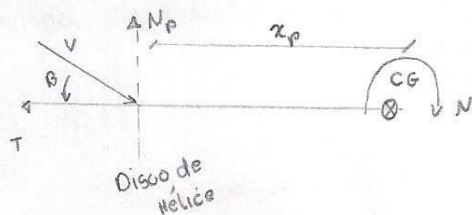
→ Da seção 3.4

$$C_{Np} = \frac{N_p}{\frac{1}{2} \rho V^2 s_p} \quad (2)$$

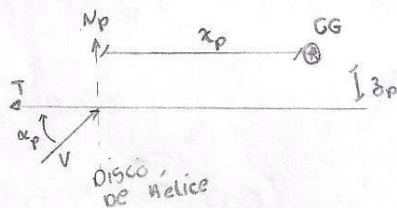
→ Da seção 3.9:

$$C_x = \frac{N}{\frac{1}{2} \rho V^2 s_b} \quad (3)$$

→ Considere a vista do superior da fig. 3.5 com $\alpha = 0$



→ Temos que $(-\beta)$ tem a mesma influência que α_p da fig. 3.5 (vista lateral)



$$\rightarrow \text{Logo } \frac{\partial C_{Np}}{\partial \beta} = -\frac{\partial C_{Np}}{\partial \alpha_p} \quad (4)$$

→ Desconsiderando o deslocamento da fig. 1

$$N = N_p \cdot x_p$$

→ De (2), (3), (4) e (5):

$$\frac{\Delta \partial C_m}{\partial \beta} = \frac{1}{\frac{1}{2} \rho V^2 s_p} \cdot \frac{\partial N}{\partial \beta} = \frac{x_p}{\frac{1}{2} \rho V^2 s_p} \cdot \frac{\partial N_p}{\partial \beta}$$

$$\frac{\Delta \partial C_m}{\partial \beta} = \frac{x_p}{\frac{1}{2} \rho V^2 s_p} \cdot \frac{1}{2} \rho V^2 s_p \cdot \frac{\partial C_{Np}}{\partial \beta}$$

Como $\frac{\partial C_{NP}}{\partial \beta} = - \frac{\partial C_{NP}}{\partial \alpha_p}$

$$\Delta \frac{\partial C_n}{\partial \beta} = - \frac{\alpha_p \cdot S_p}{b \cdot S} \cdot \frac{\partial C_{NP}}{\partial \alpha_p}$$

10 Estimativa de $b_1 = 20$

→ Do apêndice B.1 encontramos $C_{L\alpha}(M \rightarrow 0)$

$$\beta = \sqrt{1 - M^2} \quad (1)$$

$$\beta = 1$$

→ Logo:

$$R = \frac{\beta C_{L\alpha}}{2\pi} \rightarrow R = \frac{C_{L\alpha}}{2\pi} \quad (2)$$

→ Da fig. B.1.1 com $\frac{t}{c} = 0,09$

$$(C_{L\alpha})_{TEO} = 6,74 \text{ rad}^{-1} \quad (3)$$

$$\rightarrow \text{com } R = 10^7 \text{ e } \tan\left(\frac{\psi_{Te}}{2}\right) = 0,12 \quad (4)$$

$$\approx K = 0,86$$

→ Da eq. B.1.1

$$C_{L\alpha} = \frac{1,05}{\beta} \cdot K (C_{L\alpha})_{TEO} \quad (5) \Rightarrow C_{L\alpha} = 6,086 \text{ rad}^{-1} \quad (6)$$

$$\text{e } \frac{C_{L\alpha}}{(C_{L\alpha})_{TEO}} = 0,90 \quad (7)$$

→ Usando B.3, para $M \rightarrow 0$ o valor $b_1 = 20$ e $(b_1)_0$. Da figura B.3.1 sup. com $\frac{t}{c} = 0,325$

$$(b_1)_{ot}^* = -0,59 \text{ rad}^{-1}$$

* implica que $\tan\left(\frac{\chi}{2}\right) = \frac{I}{C}$, para obter $\frac{C_{L\alpha}^*}{(C_{L\alpha})_{TEO}}$, observe a parte inferior da fig. B.3.1,

use o ap. B.1. com $\tan\left(\frac{\psi'_{Te}}{2}\right) = 0,09$

~ Da fig. B.1.1

$$(C_{\delta\alpha})_{TED}^* = 6,74 \text{ rad}^{-1} \quad (9)$$

$$k = 0,89 \quad (10)$$

~ Na eq. B.1.1 os termos (9) e (10)

$$C_{\delta\alpha}^* = \frac{1,05 \cdot k}{\beta} (C_{\delta\alpha})_{TED}^* \quad (11)$$

$$C_{\delta\alpha}^* = 6,228 \text{ rad}^{-1} \quad (12)$$

$$\text{e } \frac{C_{\delta\alpha}^*}{(C_{\delta\alpha})_{TED}^*} = 0,92 \quad (13)$$

~ Assim da fig. B.3.1:

$$\frac{(b_1)_0^*}{(b_1)_{OT}^*} = 0,82 \quad (14)$$

~ Usando (8) em (14)

$$(b_1)_0^* = 0,82 \cdot (b_1)_{OT}^* \Rightarrow (b_1)_0^* = 0,98 \text{ rad}^{-1} \quad (15)$$

~ Da eq. B.3.1

$$(b_1)_0 = (b_1)_0^* + 2 \left[(C_{\delta\alpha})_{TED}^* - C_{\delta\alpha}^* \right] \left[\tan\left(\frac{\tau}{2}\right) - \frac{1}{c} \right] \quad (16)$$

~ Sendo: $\tau = \psi'_{TE}$

$$(b_1)_0 = (b_1)_0^* + 2 \left[(C_{\delta\alpha})_{TED}^* - C_{\delta\alpha}^* \right] \cdot \left[\tan\left(\frac{\psi'_{TE}}{2}\right) - \frac{1}{c} \right]$$

$$(b_1)_0 = -0,449 \text{ rad}^{-1} \quad (17)$$

~ Estimativa de b_1 incluindo a relação de equilíbrio do nariz - 2D

~ Da fig. B.3.3. com nariz elíptico e relação de equilíbrio 0,2

$$\frac{(b_1)_{0,BAL}}{(b_1)_{0,PLAIN}} = 0,85 \quad (18)$$

→ Usando (17) e (18), sendo $(b_1)_{0,PLAIN} = (b_1)_0$

$$(b_1)_{0,BAL} = -0,382 \text{ rad}^{-1} \quad (19)$$

→ Estimativa de b_1 incluindo a relação de equilíbrio -3D

→ Usaremos a fig B.3.4 e a eq. B.3.2

→ Primeiro encontraremos

$$A \cdot \frac{5,73}{C_{1d}} = 4,557 \quad (20)$$

→ Buscando na Fig. B.3.4 superior

$$F_1 = 0,29 \quad (21)$$

e fig B.3.4 inferior

$$F_2 = 0,017 \text{ rad}^{-1} \quad (22)$$

→ A eq. B.3.2

$$b_1 = (b_1)_{0,BAL} \cdot (1 - F_1) + F_1 F_2 C_{1d} \quad (23)$$

→

→ Usando (19), (21), (22) e $F_3 = 1$ em (23) temos:

$$b_1 = -0,202 \text{ rad}^{-1}$$